

УДК 539.3

## УТОЧНЕННОЕ РЕШЕНИЕ ДИНАМИЧЕСКОЙ ЗАДАЧИ ЭЛЕКТРОУПРУГОСТИ ДЛЯ БИМОРФНОЙ ПЛАСТИНЫ

Д.А. Шляхин

Рассматривается нестационарная осесимметричная задача обратного пьезоэффекта для круглой жестко закрепленной биморфной пластины.

*Ключевые слова:* биморфная пластина; теория электроупругости; динамическая нагрузка; конечные интегральные преобразования.

## REFINED SOLUTION TO A DYNAMIC PROBLEM ELECTROELASTICITY BIMORPH PLATE

D.A. Shlyakhin

The article considers the non-stationary axisymmetric problem of return piezoeffect to the circular plate rigidly fixed bimorph.

*Keywords:* bimorph plate; theory of electroelasticity; dynamic load; finite integral transforms.

**Введение.** В настоящее время в различных технических устройствах используются пьезокерамические преобразователи в виде тонких биморфных пластин [1]. В качестве расчетной модели, как правило, используется прикладная теория для тонких пластин, в которой кинематические гипотезы дополняются аналогичными допущениями о характере изменения электрического поля [2, 3].

Для учета особенностей изменения связанных физических полей в многослойных системах с разрезными электродами появляется необходимость проведения исследований в рамках теории электроупругости. Возникающие в этом случае значительные математические трудности позволили построить замкнутое решение в трехмерной постановке [4] при неполном удовлетворении краевых условий на цилиндрической поверхности жестко закрепленного элемента. Для решения данной проблемы в настоящей работе предложена новая модель динамического расчета биморфной пластины.

**1. Постановка задачи.** Пусть круглая жестко закрепленная пластина, занимающая в цилиндрической системе координат  $(r_*, \theta, z_*)$  область  $\Omega : \{0 \leq r_* \leq b, 0 \leq \theta \leq 2\pi, 0 \leq z_* \leq h^*\}$ , состоит из двух пьезокерамических элементов высотой  $h_1^*$  ( $h^* = 2h_1^*$ ), выполненных из материала гексагональной системы класса 6 mm. Изгибные осесимметричные колебания возбуждаются за счет подведения к лицевым электродам пьезопластин с противоположным направлением вектора аксиальной поляризации, электрического напряжения  $V^*(r_*, t_*)$  и заземлением внутренних электродированных поверхностей (рисунок 1).

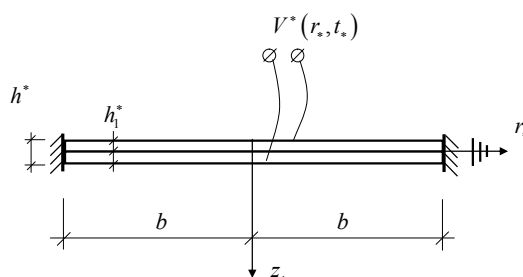


Рисунок 1 – Биморфная пластина

Дифференциальные уравнения движения и электростатики, а также краевые условия в цилиндрической системе координат и безразмерной форме имеют следующий вид [5]:

$$\frac{\partial}{\partial r} \nabla U + \frac{C_{55}}{C_{11}} \frac{\partial^2 U}{\partial z^2} + \frac{(C_{13} + C_{55})}{C_{11}} \frac{\partial^2 W}{\partial r \partial z} + \frac{(e_{31} + e_{15})}{e_{33}} \frac{\partial^2 \phi}{\partial r \partial z} - \frac{\partial^2 U}{\partial t^2} = 0, \quad (1)$$

$$\begin{aligned} \frac{C_{55}}{C_{11}} \nabla \frac{\partial W}{\partial r} + \frac{C_{33}}{C_{11}} \frac{\partial^2 W}{\partial z^2} + \frac{(C_{13} + C_{55})}{C_{11}} \frac{\partial}{\partial z} \nabla U + \frac{e_{15}}{e_{33}} \nabla \frac{\partial \phi}{\partial r} + \frac{\partial^2 \phi}{\partial z^2} - \frac{\partial^2 W}{\partial t^2} = 0, \\ \frac{(e_{31} + e_{15})}{e_{33}} \frac{\partial}{\partial z} \nabla U + \frac{e_{15}}{e_{33}} \nabla \frac{\partial W}{\partial r} + \frac{\partial^2 W}{\partial z^2} - \frac{C_{11} \varepsilon_{11}}{e_{33}^2} \nabla \frac{\partial \phi}{\partial r} - \frac{C_{11} \varepsilon_{33}}{e_{33}^2} \frac{\partial^2 \phi}{\partial z^2} = 0; \\ r = 0, 1, \quad W(0, z, t) < \infty, \quad U(0, z, t) < \infty, \quad \phi(0, z, t) < \infty, \end{aligned} \quad (2)$$

$$\begin{aligned} D_{r|r=1} = -\frac{C_{11}^{(1)} \varepsilon_{11}}{e_{33}^2} \frac{\partial \phi}{\partial r} + \frac{e_{15}}{e_{33}} \left( \frac{\partial W}{\partial r} + \frac{\partial U}{\partial z} \right) = 0, \quad U(1, z, t) = 0, \quad W(1, z, t) = 0; \\ z = 0, h, \quad \sigma_{zz} = \frac{C_{13}}{C_{11}} \nabla U + \frac{C_{33}}{C_{11}} \frac{\partial W}{\partial z} + \frac{\partial \phi}{\partial z} = 0, \end{aligned} \quad (3)$$

$$\sigma_{rz} = \frac{C_{55}}{C_{11}} \left( \frac{\partial W}{\partial r} + \frac{\partial U}{\partial z} \right) + \frac{e_{15}}{e_{33}} \frac{\partial \phi}{\partial r} = 0, \quad \phi(r, z, t) = \pm V(r, t) / 2;$$

$$z = h_1, \quad \left( \frac{C_{13}}{C_{11}} \nabla U + \frac{C_{33}}{C_{11}} \frac{\partial W}{\partial z} + \frac{\partial \phi}{\partial z} \right)_{|z=0} = \left( \frac{C_{13}}{C_{11}} \nabla U + \frac{C_{33}}{C_{11}} \frac{\partial W}{\partial z} + \frac{\partial \phi}{\partial z} \right)_{|z=0}, \quad (4)$$

$$\left( \frac{\partial W}{\partial r} + \frac{\partial U}{\partial z} \right)_{|z=0} = \left( \frac{\partial W}{\partial r} + \frac{\partial U}{\partial z} \right)_{|z=0}, \quad U(z+0) = U(z-0), \quad W(z+0) = W(z-0), \quad \phi(z+0) = \phi(z-0) = 0;$$

$$t = 0, \quad U(r, z, 0) = U_0(r, z), \quad W(r, z, 0) = W_0(r, z), \quad (5)$$

$$\frac{\partial U(r, z, t)}{\partial t} \Big|_{t=0} = \dot{U}_0(r, z), \quad \frac{\partial W(r, z, t)}{\partial t} \Big|_{t=0} = \dot{W}_0(r, z);$$

где  $\{U, W, r, z, h, h_1\} = \{U^*, W^*, r_*, z_*, h^*, h_1^*\} / b$ ;  $\{\phi, V\} = \{\phi^*, V^*\} \cdot e_{33} / (bC_{11})$ ,  $U^*(r_*, z_*, t_*)$ ,  $W^*(r_*, z_*, t_*)$  – радиальная и аксиальная компоненты вектора перемещений;  $\sigma_{zz}(r_*, z_*, t_*)$ ,  $\sigma_{rz}(r_*, z_*, t_*)$  – нормальные и касательные механические напряжения;  $D_r(r_*, z_*, t_*)$ ,  $\phi^*(r_*, z_*, t_*)$  – радиальная компонента вектора индукции и потенциал электрического поля;  $e_{mk}$ ,  $\varepsilon_{11}$ ,  $\varepsilon_{33}$  – пьезомодули и коэффициенты диэлектрической проницаемости электроупругого материала ( $m, k = 1, 5$ );  $\rho, C_{mk}$  – объемная плотность и модули упругости пьезокерамического материала;  $U_0, \dot{U}_0$ ,  $W_0, \dot{W}_0$  – известные в начальный момент времени перемещения и скорости перемещений;  $t = t_* b^{-1} \sqrt{C_{11} / \rho}$ ,  $\nabla = \frac{\partial}{\partial r} + \frac{1}{r}$ .

Соотношения (1)–(5) представляют математическую формулировку рассматриваемой краевой задачи электроупругости.

**2. Построение общего решения.** Решение осуществляется методом интегральных преобразований, используя последовательно преобразование Ханкеля с конечными пределами по переменной  $r$  и обобщенное конечное преобразование (КИП) [6] по радиальной координате  $z$ . Первоначально соотношения (1)–(5) приводятся к стандартной форме, позволяющей провести данную процедуру разделения переменных. Для этого последнее равенство (2) заменяется условием наличия касательных напряжений  $N_1(z, t)$  на цилиндрической поверхности пластины:

$$\sigma_{r=|r=1} = \frac{C_{55}}{C_{11}} \left( \frac{\partial W}{\partial r} + \frac{\partial U}{\partial z} \right) + \frac{e_{15}}{e_{33}} \frac{\partial \phi}{\partial r} = N_1(z, t). \quad (6)$$

В результате рассматривается новая задача электроупругости при действии на лицевых поверхностях биморфной пластины заданной электрической нагрузки  $V(r, t)$  и приложенных на цилиндрической поверхности конструкции неизвестных касательных напряжений  $N_1(z, t)$ .

Для решения задачи (1)–(5), (6) вводятся новые функции  $w(r, z, t)$ ,  $\chi(r, z, t)$ , связанные с  $W(r, z, t)$ ,  $\phi(r, z, t)$  соотношениями:

$$\begin{aligned} W(r, z, t) &= W_1(t) + R_0 C_{11} \varepsilon_{11} r N_1(z, t) + w(r, z, t), \\ \phi(r, z, t) &= R_0 e_{33} e_{15} r N_1(z, t) + \chi(r, z, t), \end{aligned} \quad (7)$$

где  $W_1$ ,  $N_1$  – неизвестные функции, определяемые в процессе решения задачи из условия отсутствия вертикальных перемещений цилиндрической поверхности пластины (последнее краевое соотношение (2));  $R_0 = (C_{55} \varepsilon_{11} + e_{15}^2)^{-1}$ .

В результате подстановки (7) в (1)–(5), (6) и учета особенностей изменения  $\phi(r, z, t)$ , получаем краевую задачу относительно функций  $U, w, \chi$ . При этом дифференциальные уравнения (1) и первое краевое условие (3) становятся неоднородными с правыми частями  $R_1 \div R_3, B_1$ , а начальные условия (5)  $W_0, \dot{W}_0$  следует заменить на  $w_0, \dot{w}_0$  (промежуточные выкладки здесь и ниже не приводятся в связи с ограничением объема статьи).

Кроме того, условия (2), с учетом (6), (7), при  $r = 1$ , определяются равенствами:

$$U(1, z, t) = 0, \quad \frac{\partial w}{\partial r} \Big|_{r=1} = 0, \quad \frac{\partial \phi}{\partial r} \Big|_{r=1} = 0. \quad (8)$$

К краевой задаче относительно  $U, w, \chi$  применяем преобразование Ханкеля с конечными пределами по переменной  $r$ , используя следующие трансформанты:

$$\begin{aligned} u_H(j_n, z, t) &= \int_0^1 U(r, z, t) r J_1(j_n r) dr, \\ \{w_H(j_n, z, t), \phi_H(j_n, z, t)\} &= \int_0^1 \{w(r, z, t), \chi(r, z, t)\} r J_0(j_n r) dr, \end{aligned} \quad (9)$$

и формулы обращения:

$$\begin{aligned} U(r, z, t) &= 2 \sum_{n=1}^{\infty} \frac{u_H(n, z, t)}{J_0(j_n)^2} J_1(j_n r), \\ w(r, z, t) &= 2 \sum_{n=0}^{\infty} \frac{w_H(n, z, t)}{J_0(j_n)^2} J_0(j_n r), \quad \chi(r, z, t) = 2 \sum_{n=0}^{\infty} \frac{\phi_H(n, z, t)}{J_0(j_n)^2} J_0(j_n r), \end{aligned} \quad (10)$$

где  $j_n$  – положительные нули функции  $J_1(j_n)$ , расположенные в порядке их возрастания ( $n = \overline{0, \infty}$ ;  $j_0 = 0$ ).

В пространстве изображений получаем новую краевую задачу относительно трансформант  $u_H, w_H, \phi_H$ .

На втором этапе решения процедура стандартизации связана с приведением неоднородных граничных условий по координате  $z$  к однородным, при использовании следующих представлений:

$$\begin{aligned} u_H(n, z, t) &= S_1(n, z, t) + U_H(n, z, t), \\ w_H(n, z, t) &= S_2(n, z, t) + W_H(n, z, t), \quad \phi_H(n, z, t) = S_3(n, z, t) + \chi_H(n, z, t). \end{aligned} \quad (11)$$

Здесь  $S_1 = \frac{C_{11}e_{15}}{C_{55}e_{33}} \frac{j_n}{h_1^2} \left[ (|z-h_1|)^3 - h_1(|z-h_1|)^2 \right] V_H [1-2H(z-h_1)]$ ,  $S_2 = \frac{C_{11}}{C_{33}} \left| 1 - \frac{z}{h_1} \right| \times (V_H + B_{1H|z=0})$ ,

$S_3 = \left( 1 - \frac{z}{h_1} \right) V_H$ ,  $H(\dots)$  – единичная функция Хэвисайда.

В результате подстановки (11) в краевую задачу относительно трансформант  $u_H, w_H, \phi_H$ , получаем новую задачу для функций  $U_H, W_H, \chi_H$ , которую решаем, используя структурный алгоритм обобщенного метода конечных интегральных преобразований (КИП) [6]. Для этого введем на сегменте  $[0, h]$  КИП с неизвестными компонентами  $K_1(\lambda_{in}, z)$ ,  $K_2(\lambda_{in}, z)$ ,  $K_3(\lambda_{in}, z)$  вектор-функции ядра преобразования:

$$G(\lambda_{in}, n, t) = \int_0^h (U_H K_{1in} + W_H K_{2in}) dz, \tag{12}$$

$$\{U_H, W_H, \chi_H\} = \sum_{i=1}^{\infty} G_{in} \{K_{1in}, K_{2in}, K_{3in}\} \left[ \int_0^h (K_{1in}^2 + K_{2in}^2 + K_{3in}^2) dz \right]^{-2}, \tag{13}$$

где  $\lambda_{in}$  – положительные параметры, образующие счетное множество  $(i = \overline{1, \infty})$ .

Подвергая соотношения для  $U_H, W_H, \chi_H$  КИП [8], получаем однородную краевую задачу относительно компонент ядра преобразований  $K_{1in}, K_{2in}, K_{3in}$ , а также счетное множество задач Коши для трансформанты  $G_{in}$ . Решение данных задач были получены автором в работе [7].

Подстановка  $K_{1in}, K_{2in}, K_{3in}$  в граничные условия по переменной  $z$  формирует однородную систему уравнений относительно постоянных  $D_{1in}, \dots, D_{12in}$ . Разыскивая ее нетривиальные решения, получаем трансцендентное уравнение для вычисления собственных значений  $\lambda_{in}$ , а также выражения постоянных интегрирования.

Окончательные выражения функций  $U(r, z, t)$ ,  $W(r, z, t)$ ,  $\phi(r, z, t)$  получим, применяя последовательно формулы обращения (13), (10). Тогда, с учетом (7), (11), имеем:

$$U(r, z, t) = 2 \sum_{n=1}^{\infty} J_0(j_n)^{-2} \left[ S_1 + \sum_{i=1}^{\infty} G_{in} K_{1in} \|K_{in}\|^{-2} \right] J_1(j_n r), \tag{14}$$

$$W(r, z, t) = W_1(t) + R_0 C_{11} e_{15} r N_1(z, t) + 2 \sum_{n=0}^{\infty} J_0(j_n)^{-2} \left[ S_2 + \sum_{i=1}^{\infty} G_{in} K_{2in} \|K_{in}\|^{-2} \right] J_0(j_n r),$$

$$\phi(r, z, t) = R_0 e_{33} e_{15} r N_1(z, t) + 2 \sum_{n=0}^{\infty} J_0(j_n)^{-2} \left\{ S_3 + \sum_{i=1}^{\infty} G_{in} K_{3in} [1-2H(z-h_1)] \|K_{in}\|^{-2} \right\} J_0(j_n r).$$

Функции  $W_1(t)$ ,  $N_1(z, t)$  определяются при удовлетворении последнего краевого условия (2):

$$W_1(t) = -2 \sum_{n=0}^{\infty} J_0(j_n)^{-1} \sum_{i=1}^{\infty} G_{in} K_{2in|z=0} \|K_{in}\|^{-2}, \tag{15}$$

$$N_1(z, t) = W_1(t) \sum_{m=1}^k A_k \left| (z-h_1)^{k-m} \right|.$$

Здесь коэффициенты  $A_k$  определяются при удовлетворении условия  $W(1, z, t) = 0$ . При этом краевое условие (2) удовлетворяется в  $2k-2$  точках по высоте сечения биморфной пластины.

Полученные расчетные соотношения (14), (15) удовлетворяют дифференциальным уравнениям (1) и краевым условиям (2)–(5), т. е. представляют замкнутое решение рассматриваемой краевой задачи электроупругости.

**3. Численные результаты. Выводы.** В качестве примера рассматривается биморфная пластина, имеющая следующие геометрические и физические характеристики аксиально поляризованных пьезокерамических пластин состава ЦТС-19:

$$b = 14 \times 10^{-3} \text{ м}, \rho = 7730 \text{ кг/м}^2, \{C_{11}, C_{33}, C_{12}, C_{13}, C_{55}\} = \{10.9, 9.1, 6.1, 5.4, 2.4\} \times 10^{10} \text{ Н/м}^2,$$

$$\{e_{31}, e_{33}, e_{15}\} = \{-4.9, 14.9, 10.6\} \text{ Кл/м}^2, \{\varepsilon_{11}, \varepsilon_{33}\} = \{7.73, 7.26\} \times 10^{-9} \text{ Ф/м}.$$

Для анализа напряженно-деформированного состояния биморфной пластины рассматривается ее работа на первой резонансной частоте. В этом случае для наиболее эффективного преобразования внешнего электрического воздействия на лицевых поверхностях пьезокерамических пластин необходимо использовать два разрезных кольцевых электрода (количество и размеры электродов определяют нулевые значения функции  $J_1(j_n)$ ) с радиусом их раздела  $a = 8.8 \times 10^{-3}$  м ( $r_1 = a/b = 0.628$ ). При этом электрический потенциал подводится к соседним электродам в противофазе.

Представляем электрическую нагрузку  $V(r, t)$  в виде:  $V(r, t) = V_0 [H(r_1 - r) - H(r - r_1)] \sin \theta t$ , где  $V_0, \theta$  – амплитуда и частота внешнего воздействия в безразмерной форме.

На рисунках 2–4 представлены графики, характеризующие изменение по пространственным координатам и времени составляющих механических и электрических полей напряжений ( $\theta = 0.8 \lambda_{11}$ ).

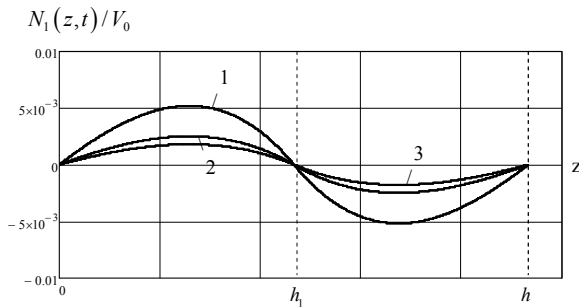


Рисунок 2 – Изменения амплитудных значений касательных напряжений  $N_1(z, t)$  по высоте биморфной пластины: 1 –  $h_1^* = 10^{-3}$  м, 2 –  $h_1^* = 0.5 \times 10^{-3}$  м, 3 –  $h_1^* = 0.35 \times 10^{-3}$  м

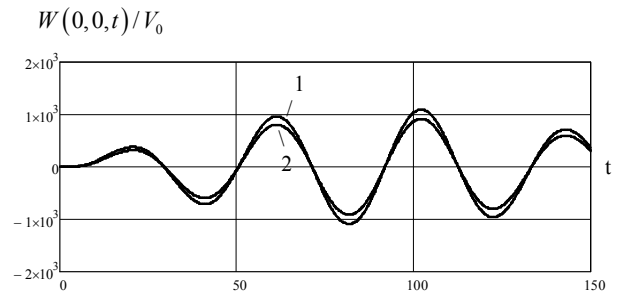


Рисунок 3 – График изменения вертикальной компоненты вектора перемещений  $W(0, 0, t)$  по времени ( $h_1^* = 0.35 \times 10^{-3}$  м): 1, 2 – с учетом и без учета действия касательных напряжений  $N_1(z, t)$

$$\{D_z(0.5, z, t), D_z(0, z, t) / 2\} / V_0$$

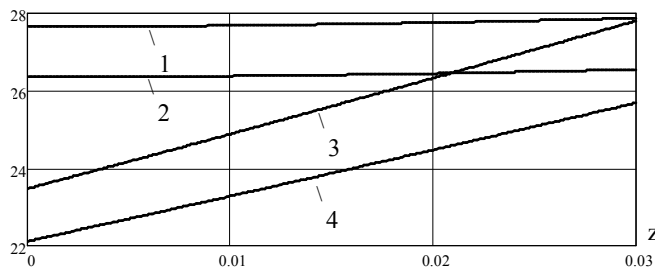


Рисунок 4 – Изменение амплитудных значений аксиальной компоненты вектора индукции электрического поля  $D_z(r, z, t)$  по высоте пьезокерамической пластины ( $0 \leq z \leq h_1^*$ ,  $h_1^* = 0.5 \times 10^{-3}$  м): 1, 2 –  $r = 0.5$ , 3, 4 –  $r = 0$ ; 1, 3 – с учетом  $N_1(z, t)$ , 2, 4 – без учета  $N_1(z, t)$

На основании анализа результатов расчета можно сделать следующие выводы:

1. Антисимметричная форма касательных напряжений  $N_1(z, t)$  (рисунок 2) относительно срединной поверхности практически не зависит от толщины пластин и частотных характеристик внешнего воздей-

ствия. Экстремальное значение  $N_I(z,t)$  находится в пределах  $(0.44 \div 0.46) h_I$ . Увеличение толщины пластины приводит к росту касательных напряжений в жесткой заделке.

2. Уточнение модели расчета, принятой в настоящей работе, приводит к увеличению вертикальной компоненты вектора перемещений. В частности, при вычислении  $W(0,0,t)$  ( $h_I^* = 0.35 \times 10^{-3}$  м) учет влияния  $N_I(z,t)$ , по сравнению с приближенным решением [4], приводит к росту перемещений на 17 % (рисунок 3, графики 1, 2). Данное соотношение примерно выполняется и при изменении толщины пластины.

3. Уточненная модель расчета не оказывает существенного влияния на изменение потенциала и напряженности электрического поля. Однако величина индукции электрического поля изменяется значительно. На рисунке 4 приведены графики изменения амплитудных значений аксиальной компоненты вектора индукции электрического поля  $D_z(r,z,t)$  по высоте пьезокерамической пластины. Цифрами 1,3 обозначены результаты без учета, 2, 4 – с учетом касательных напряжений ( $1,2 - r = 0.5$ ;  $3,4 - r = 0$ ). Разница составляет порядка 10 %. Причем при  $r = 0.5$  величина  $D_z$  практически не меняется по переменной  $z$  (графики 1, 2), а в центре пластины  $r = 0$  данные изменения существенны.

В заключение необходимо отметить, что данный подход также можно использовать при динамическом расчете тонких и толстых анизотропных упругих пластин.

#### Литература

1. Датчики / под ред. В.М. Шарапова. М.: Техносфера, 2012. 616 с.
2. *Adelman N.T.* Flexural-extensional behavior piezoelectric circular plates / N.T. Adelman, Y. Stavsky // J. Acoust. Soc. Amer. 1980. Vol. 67. № 3. P. 819–822.
3. *Ватульян А.О.* Об одной модели изгибных колебаний пьезоэлектрических биморфов с разрезными электродами и ее приложениях / А.О. Ватульян, А.А. Рынькова // Изв. РАН. МТТ. 2007. № 4. С. 114–122.
4. *Shlyakhin D.A.* Dynamical problem in the theory of electroelasticity for an asymmetric rigid bi-morph plate / D.A. Shlyakhin // Procedia Engineering. 2015. Vol. 111. P. 717–725. DOI information: 10.1016/j.proeng.2015.07.137.
5. *Гринченко В.Т.* Механика связанных полей в элементах конструкций / В.Т. Гринченко, А.Ф. Улитко, Н.А. Шульга. Киев: Наук. думка, 1989. 279 с.
6. *Сеницкий Ю.Э.* Многокомпонентное обобщенное конечное интегральное преобразование и его приложение к нестационарным задачам механики / Ю.Э. Сеницкий // Изв. вузов. Математика. 1991. № 4. С. 57–63.
7. *Шляхин Д.А.* Вынужденные осесимметричные колебания толстой круглой жестко закрепленной пьезокерамической пластины / Д.А. Шляхин // Изв. РАН. МТТ. 2014. № 4. С. 90–100.